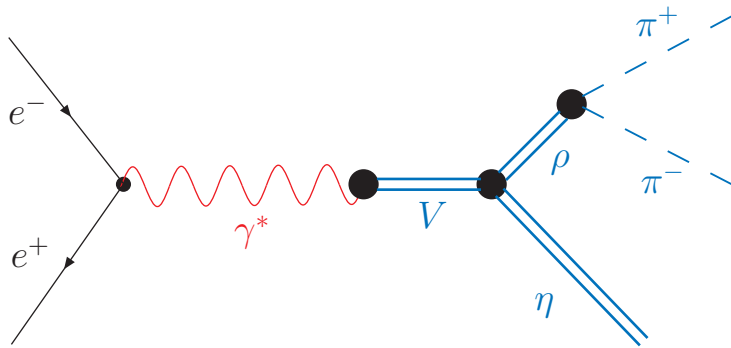


Измерение сечения процесса $e^+e^- \rightarrow \eta\pi^+\pi^-$ с детектором СНД на ВЭПП-2М в области энергии 1.04 ГэВ – 1.38 ГэВ

Дмитрий Штоль

Институт ядерной физики СО РАН

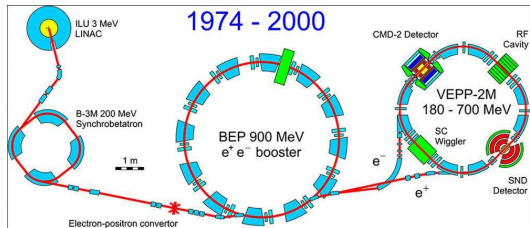
Диаграмма процесса



Процесс $e^+e^- \rightarrow \eta\pi^+\pi^-$

$$V = \rho(770), \rho(1450), \rho(1700)$$

Комплекс ВЭПП-2М



Параметры комплекса:

- $\sqrt{s} = 0.4 \div 1.4 \text{ ГэВ}$;
- $IL_{max} = 4 \cdot 10^{30} \text{ см}^2 \text{ сек}^{-1}$;
- Работал с 1974 по 2000 гг.

Использованные данные:

Использовались данные трех сканирований с шагом 10 МэВ в области $\sqrt{s} = 1040 \div 1380$ МэВ с полной интегральной светимостью 9.054 пб^{-1} .

Детектор СНД

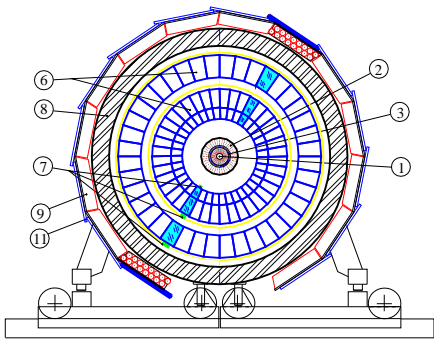
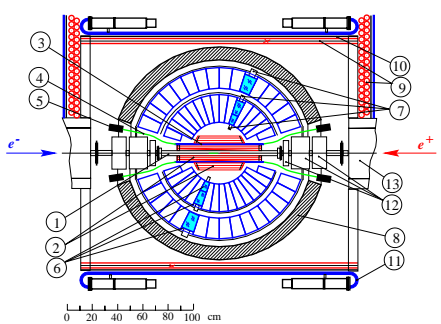


Схема СНД. 1 – вакуумная камера, 2 – дрейфовые камеры, 3 – сцинтилляционный счетчик, 4 – световоды, 5 – ФЭУ, 6 – кристаллы NaI(Tl), 7 – фототриоды, 8 – поглотитель (Fe), 9 – стримерные трубы, 10 – 1 см железные пластины, 11 – сцинтилляционные счетчики, 12 – магнитные линзы, 13 – поворотные магниты.

Условия отбора

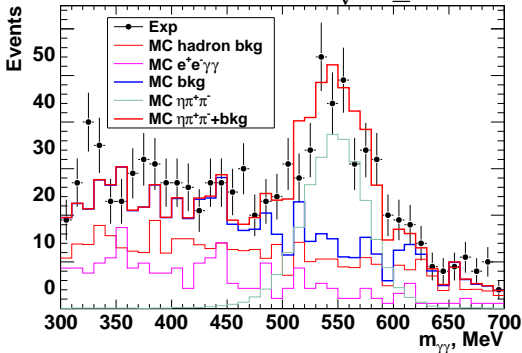
Процесс $e^+e^- \rightarrow \eta\pi^+\pi^-$ изучается в канале распада
 $\eta \rightarrow \gamma\gamma$ ($Br = 39.38\%$) .

- Наличие ровно двух заряженных частиц с треками в дрейфовой камере и ровно двух нейтральных частиц;
- $0.5 < E_{\text{tot}}/2E_{\text{beam}} < 0.9$ – полное энерговыделение в калориметре;
- $22.5^\circ < \theta_{1,2} < 157.5^\circ$ – полярный угол для заряженных частиц;
- $36^\circ < \theta_{3,4} < 144^\circ$ – полярный угол для нейтральных частиц;
- $\zeta_{3,4} < 0$ – параметр качества фотонов (использует поперечное распределение энерговыделения в калориметре);
- $|Z| < 5$ см – Z-координата точки вылета заряженных частиц по результатам реконструкции;
- $R_{1,2} < 1$ см – расстояние от трека до оси пучков;
- $\chi^2_{\pi^+\pi^-\gamma\gamma} < 20$ – параметр кинематической реконструкции в гипотезе $e^+e^- \rightarrow \pi^+\pi^-\gamma\gamma$.

Фоновые процессы

Моделированный спектр инвариантных масс фотонов в области

$$\sqrt{s} \geq 1300 \text{ МэВ}$$

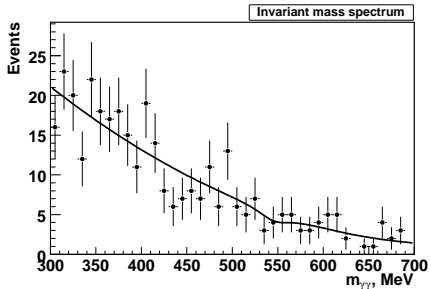


Распределение по $m_{\gamma\gamma}$ – эксперимент, моделированные суммарный фон и эффект и вклады отдельных фоновых процессов по моделированию, нормированные на экспериментальную интегральную светимость.

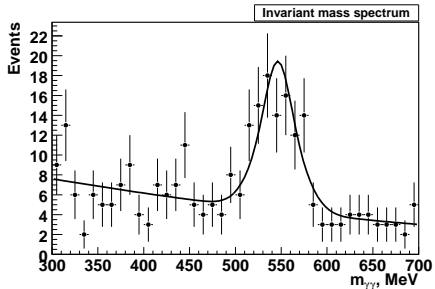
- ① $e^+e^- \rightarrow \omega\pi \rightarrow \pi^+\pi^-2\pi^0$
- ② $e^+e^- \rightarrow a_1\pi \rightarrow \pi^+\pi^-2\pi^0$
- ③ $e^+e^- \rightarrow \pi^+\pi^-\pi^0$
- ④ $e^+e^- \rightarrow e^+e^-\gamma\gamma$
- ⑤ $e^+e^- \rightarrow K_SK_L$

Процесс	Число событий
$\omega\pi$	231
$a_1\pi$	181
$\pi^+\pi^-\pi^0$	19
$e^+e^-\gamma\gamma$	228
K_SK_L	<1
$\eta\pi^+\pi^-$	268
Сумма	927
Эксп.	1003

Определение числа событий $(\eta \rightarrow \gamma\gamma)\pi^+\pi^-$



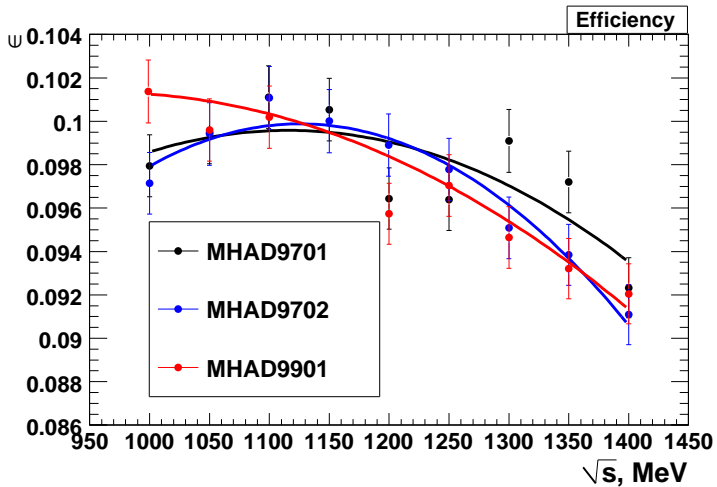
Экспериментальный спектр инвариантных масс в области $1012.5 \text{ МэВ} \leq \sqrt{s} \leq 1112.5 \text{ МэВ}$



Экспериментальный спектр инвариантных масс в области $1362.5 \text{ МэВ} \leq \sqrt{s} \leq 1387.5 \text{ МэВ}$

Аппроксимация спектров производится суммой двух распределений Гаусса (эффект) и полинома второй степени (фон).

Эффективность регистрации



Зависимость эффективности регистрации процесса $e^+e^- \rightarrow \eta\pi^+\pi^-$ от энергии для различных сканирований.

Аппроксимация борновского сечения $e^+e^- \rightarrow \eta\pi^+\pi^-$

Функция для аппроксимации выбрана на основе работы ¹.

$$\sigma_B(s) = \frac{4\alpha^2}{3} \frac{1}{s\sqrt{s}} |F(s)|^2 \int_{4m_\pi^2}^{(\sqrt{s}-m_\eta)^2} \frac{\sqrt{q^2}\Gamma_\rho(q^2)p_\eta^3(s,q^2)}{(q^2-m_\rho^2)^2 + (\sqrt{q^2}\Gamma_\rho(q^2))^2} dq^2, \quad (1)$$

$$p_\eta^2 = \frac{(s-m_\eta^2-q^2)^2 - 4m_\eta^2 q^2}{4s}$$

Зависимость ширины $\rho(770)$ от энергии описывается формулой:

$$\Gamma_\rho(q^2) = \Gamma_\rho(m_\rho^2) \frac{m_\rho^2}{q^2} \left(\frac{p_\pi^2(q^2)}{p_\pi^2(m_\rho^2)} \right)^{\frac{3}{2}}, \quad (2)$$

$$p_\pi^2(q^2) = \frac{q^2}{4} - m_\pi^2$$

¹Н.Н. Ачаков, В.А. Карнаков. К исследованию реакции $e^+e^- \rightarrow \eta\pi^+\pi^-$. Письма в ЖЭТФ т.39 вып. 6, 1984.

Формфактор $F(s)$ описывается как

$$F(s) = \sum_V \frac{m_V^2}{g_{V\gamma}} \frac{g_{V\rho\eta}}{s - m_V^2 + i\sqrt{s}\Gamma_V(s)} \quad (3)$$

Где $V = \rho(770)$, $\rho(1450)$ и $\rho(1700)$.

Для $\rho(1450)$ и $\rho(1700)$ принимается $\Gamma_V(s) = \Gamma_V(m_V^2)$.

Значения $g_{\rho\rho\eta}$ и $g_{\rho\gamma}$ вычислялись из данных PDG по формулам²:

$$\begin{aligned} g_{\rho\gamma}^2 &= \frac{4\pi}{3} \alpha^2 \frac{m_\rho}{\Gamma_{\rho \rightarrow e^+ e^-}}, \quad g_{\rho\gamma} = 4.97 \\ g_{\rho\eta\gamma}^2 &= \frac{24}{\alpha} m_\rho^3 \frac{\Gamma_{\rho \rightarrow \eta\gamma}}{(m_V^2 - m_\eta^2)^3}, \\ g_{\rho\rho\eta} &= g_{\rho\gamma} g_{\rho\eta\gamma} = 0.007786 \text{ МэВ}^{-1} \end{aligned} \quad (4)$$

$A_V = g_{V\rho\gamma}/g_{V\gamma}$. Свободными параметрами аппроксимации являются $A_{\rho(1450)}$ и $A_{\rho(1700)}$. Фазы предполагаются равными 0 или π .

²M.N. Achasov, Study of the process $e^+e^- \rightarrow \pi^+\pi^-$ in the energy region $400 < \sqrt{s} < 1000$ MeV. arXiv:hep-ex/0506076, 2005.

Вычисление радиационных поправок

С использованием функции $\sigma_B(s)$ строится функция, описывающая видимое сечение³:

$$\sigma_{\text{vis}}(s) = \int_0^{\frac{2E_{\text{max}}}{\sqrt{s}}} F(z, s)\sigma_B(s(1-z))dz \quad (5)$$

Где $F(z, s)$ – плотность вероятности излучения фотона с энергией $z\sqrt{s}/2$.

Функция $\sigma_{\text{vis}}(s)$ используется для аппроксимации измеренного видимого сечения с помощью программы FIT⁴.

Радиационная поправка вычисляется по формуле:

$$1 + \delta(s) = \frac{\sigma_{\text{vis}}(s)}{\sigma_B(s)} \quad (6)$$

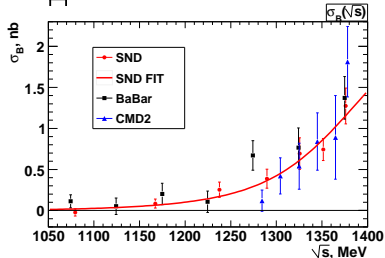
$$\sigma_B^{\text{exp}}(s_i) = \frac{\sigma_{\text{vis}}^{\text{exp}}(s_i)}{1 + \delta(s_i)} \quad (7)$$

³Э.А. Кураев, В.С. Фадин. О радиационных поправках к сечению однофотонной аннигиляции e^+e^- -пары большой энергии.

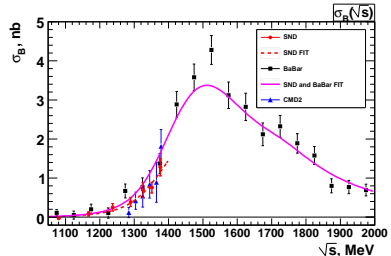
⁴А.В. Боженок и др. Пакет программ аппроксимации сечений в эксперименте СНД. Препринт ИЯФ 99-103, 1999.

Борновское сечение

Результаты измерения борновского сечения для процесса $e^+e^- \rightarrow \eta\pi^+\pi^-$ на СНД. Для сравнения приведены данные BaBar⁵ и CMD2⁶.



Аппроксимация по данным СНД. Задано значение $A_\rho(1700) = 0$.
 $\chi^2 = 3.9/6, P = 69\%$.



Аппроксимация по данным СНД
(до 1400 МэВ) и BaBar
(1400 \div 2000 МэВ).
 $\chi^2 = 25.61/18, P = 11\%$.

⁵B. Aubert et al. The $e^+e^- \rightarrow 2(\pi^+\pi^-)\pi^0, 2(\pi^+\pi^-)\eta, K^+K^-\pi^+\pi^-\pi^0$ and $K^+K^-\pi^+\pi^-\eta$ Cross Sections Measured with Initial-State Radiation. arXiv:0708.2461v1 [hep-ex] 18 Aug 2007.

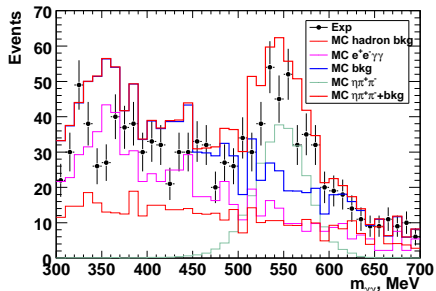
⁶R.R. Akhmetshin et al. Study of the process $e^+e^- \rightarrow \pi^+\pi^-\pi^+\pi^-\pi^0$ with the CMD-2 detector. Phys. Lett. B 489 (2000) 125-130.

- Получены предварительные результаты измерения сечения процесса $e^+e^- \rightarrow \eta\pi^+\pi^-$ в области $\sqrt{s} = 1.04 \text{ ГэВ} \div 1.38 \text{ ГэВ}$.
- Полученные результаты согласуются с результатами BaBar и КМД-2, при этом имеют лучшую статистическую точность.

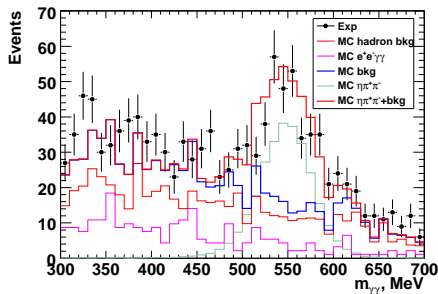
Таблица: Борновское сечение

\sqrt{s} , МэВ	σ_{vis} , нб	σ_{B} , нб	$1 + \delta$
1080.43	<0.19 CL=95%	<0.217 CL=95%	0.875
1167.29	0.074 ± 0.047	0.084 ± 0.054	0.876
1237.63	0.221 ± 0.081	0.253 ± 0.093	0.872
1289.71	0.336 ± 0.100	0.388 ± 0.116	0.868
1325.54	0.600 ± 0.165	0.693 ± 0.192	0.866
1351.41	0.645 ± 0.114	0.743 ± 0.134	0.867
1376.52	1.107 ± 0.188	1.271 ± 0.218	0.871

Отбор



Структура фона при отсутствии ограничения на энерговыделение в калориметре.



Структура фона при отсутствии ограничения на качество фотонов.

Число событий и сечение регистрации в интервалах

Эксперимент MHAD9701

Интервал, MeV	$2\bar{E}$, MeV	Число событий	Интегральная светимость, нб $^{-1}$	Сечение регистрации, пб
1012.5-1112.5	1080.4	-2.06 ± 3.15	381.78	-5.4 ± 8.2
1112.5-1212.5	1167.3	1.60 ± 1.67	69.32	23.1 ± 24.1
1262.5-1312.5	1289.7	0.71 ± 1.71	23.26	30.5 ± 73.4

Эксперимент MHAD9702

Интервал, MeV	$2\bar{E}$, MeV	Число событий	Интегральная светимость, нб $^{-1}$	Сечение регистрации, пб
1012.5-1112.5	1080.4	1.3 ± 3.5	426.65	3.0 ± 8.3
1112.5-1212.5	1167.3	16.9 ± 8.5	1056.91	16.0 ± 8.0
1212.5-1262.5	1237.6	20.9 ± 7.9	805.07	26.0 ± 9.9
1262.5-1312.5	1289.7	37.6 ± 11.2	1192.67	31.5 ± 9.4
1312.5-1337.5	1325.5	29.2 ± 8.0	528.58	55.2 ± 15.2
1337.5-1362.5	1351.4	54.4 ± 11.0	740.84	73.4 ± 14.9
1362.5-1387.5	1376.5	72.8 ± 12.4	735.91	98.9 ± 16.8

Эксперимент MHAD9901

Интервал, MeV	$2\bar{E}$, MeV	Число событий	Интегральная светимость, нб $^{-1}$	Сечение регистрации, пб
1012.5-1112.5	1080.4	-2.9 \pm 4.5	929.45	-3.1 \pm 4.8
1112.5-1212.5	1167.3	2.0 \pm 6.6	1156.15	1.7 \pm 5.7
1212.5-1262.5	1237.6	5.5 \pm 5.3	428.18	12.9 \pm 12.5
1337.5-1362.5	1351.4	25.8 \pm 8.3	579.67	44.6 \pm 14.3

Эксперимент MHAD9701

\sqrt{s} , MeV	σ_{reg} , пб	ϵ , %	σ_{vis} , нб
1012.5-1112.5	-5.4 \pm 8.2	9.65	-0.056 \pm 0.086
1112.5-1212.5	23.1 \pm 24.1	9.64	0.239 \pm 0.251
1212.5-1262.5	—	9.55	—
1262.5-1312.5	30.5 \pm 73.4	9.44	0.323 \pm 0.778
1312.5-1337.5	—	9.34	—
1337.5-1362.5	—	9.25	—
1362.5-1387.5	—	9.16	—

Эксперимент MHAD9702

\sqrt{s} , MeV	σ_{reg} , пб	ϵ , %	σ_{vis} , нб
1012.5-1112.5	3.0 \pm 8.3	9.66	0.031 \pm 0.086
1112.5-1212.5	16.0 \pm 8.0	9.66	0.165 \pm 0.083
1212.5-1262.5	25.9 \pm 9.9	9.53	0.272 \pm 0.103
1262.5-1312.5	31.5 \pm 9.4	9.36	0.337 \pm 0.101
1312.5-1337.5	55.2 \pm 15.2	9.21	0.600 \pm 0.165
1337.5-1362.5	73.4 \pm 14.9	9.07	0.809 \pm 0.164
1362.5-1387.5	98.9 \pm 16.8	8.93	1.107 \pm 0.188

Эксперимент MHAD9901

\sqrt{s} , MeV	σ_{reg} , пб	ϵ , %	σ_{vis} , нб
1012.5-1112.5	-0.003 \pm 0.005	9.75	-0.032 \pm 0.049
1112.5-1212.5	0.002 \pm 0.006	9.61	0.018 \pm 0.059
1212.5-1262.5	0.013 \pm 0.012	9.44	0.136 \pm 0.132
1262.5-1312.5	—	9.28	—
1312.5-1337.5	—	9.16	—
1337.5-1362.5	0.045 \pm 0.014	9.06	0.492 \pm 0.158
1362.5-1387.5	—	8.96	—

Видимое сечение, усредненное по
экспериментам

\sqrt{s} , MeV	σ_{vis} , нб
1012.5-1112.5	-0.024 \pm 0.038
1112.5-1212.5	0.074 \pm 0.047
1212.5-1262.5	0.221 \pm 0.081
1262.5-1312.5	0.336 \pm 0.100
1312.5-1337.5	0.600 \pm 0.165
1337.5-1362.5	0.645 \pm 0.114
1362.5-1387.5	1.107 \pm 0.188

$$\sigma_{\text{vis}}^i \pm \delta_i, i=9701, 9702, 9901$$

$$w_i = 1/\delta_i^2$$

$$W = \sum_i w_i$$

$$\overline{\sigma_{\text{vis}}} = \frac{1}{W} \sum_i w_i \sigma_{\text{vis}}^i$$

Поправка к эффективности

Поправка учитывает неточность моделирования множественности фотонов.

Использован процесс $e^+e^- \rightarrow 3\pi$ на энергии $\sqrt{s} = m_\phi = 1020$ МэВ. Отбор событий производился с помощью тех же условий, что и событий изучаемого процесса в другой области инвариантных масс фотонов.

Пусть $N_{2\gamma}^{exp}$ - число **экспериментальных** отобранных событий с **двумя** фотонами;

N^{exp} - число **экспериментальных** отобранных событий с **произвольным** числом фотонов;

$N_{2\gamma}^{mc}$ - число **моделированных** отобранных событий с **двумя** фотонами;

N^{mc} - число **моделированных** отобранных событий с **произвольным** числом фотонов.

$$\delta_{eff} = \frac{N_{2\gamma}^{exp}/N^{exp}}{N_{2\gamma}^{mc}/N^{mc}} \quad (8)$$

$$\delta_{eff} = 0.9695$$